

用电导法测定 Si-SiO₂ 低界面态密度和俘获截面*

史常忻 陆德仁 顾为芳

(中国科学院上海冶金研究所)

本文用国产仪器完成了电导法的测量装置,对氯化氢氧化的硅样品测量结果表明,能够可靠地获得界面态密度几乘 10⁹ cm⁻²·eV⁻¹ 的测量数据和相应的俘获截面.

已知,N型衬底 MOS 电容中界面态的等效并联电导 G_p 为:

$$G_p/\omega = \frac{1}{2} \cdot q \cdot N_{ss} \cdot I(\sigma) \quad (1)$$

$$I(\sigma) = (2\pi\sigma^2)^{-1/2} (\omega\tau_n)^{-1} \int_{-\infty}^{\infty} \exp\left(-\frac{\Delta u_s^2}{2\sigma^2} + \Delta u_s\right) \cdot \ln[1 + \omega^2\tau_n^2 \exp(-2\Delta u_s)] \cdot d\Delta u_s \quad (2)$$

其中,时间常数 $\tau_n = (c_n \cdot n_i)^{-1} \exp[-(\bar{u}_s - u_B)]$, 相对于平均表面势之偏差 $\Delta u_s = u_s - \bar{u}_s$. N_{ss} 为界面态密度, ω 为测试圆频率, σ 为表征表面势起伏的方差. u_B 为体费米势, q 为电子电荷, n_i 为本征载流子浓度, c_n 为电子的俘获几率. 式(2)积分给出: (1) 以 σ 为参量的一族等效并联电导对频率的归一化曲线, $(G_p/\omega)/\left(\frac{G_p}{\omega}\right)_m = \omega/\omega_m$; (2) 积分最大值 $I_m(\sigma)$ 作为 σ 的函数曲线和 (3) 对应于最大值的极值点 $(\omega\tau_n)_m = f_r(\sigma)$ 作为 σ 函数的曲线. 所以,只要测得 $(G_p/\omega)_m$ 和 $(\omega\tau_n)_m$ 就可以由下式计算 N_{ss} 和 τ_n (其中 Δs 为电容面积):

$$N_{ss} = \frac{1}{\Delta s} \cdot \frac{2}{q} \left(\frac{G_p}{\omega}\right)_m \frac{1}{I_m(\sigma)} \quad (3)$$

$$\tau_n = \frac{f_r(\sigma)}{\omega_m} \quad (4)$$

而直接用电桥测得的电导 G_m 和电容 C_m 与 G_p 的关系为:

$$\frac{G_p}{\omega} = \frac{\omega c_{0x}^2 G_m (G_m^2 + \omega^2 C_m^2)}{\omega^2 c_{0x}^2 G_m^2 + [\omega^2 C_m (c_{0x} - c_m) - G_m^2]^2} \quad (5)$$

装置和方法. 以 QS-16 型电容电桥测得 G_m 和 C_m , 精度分别可达 0.00001 微姆欧和 0.01 微微法. YY-7 型多频电桥振荡器给出不同频率测试讯号, 经衰减后为 20—50 毫伏峰——峰值电压接至电桥. 频率经数字频率计校准, 误差在 ±1% 以内. 电桥检零讯号在 AZ 4 型射线平衡指示器上显示并再接入 FID-1 型测量放大器上进一步放大, 同时观测电桥平衡以获得精确读数. 直流偏压用数字电压表读至 0.0001 伏.

* 1980 年 10 月 27 日收到.

测量时, (1) 测量 1 千赫和 10 千赫时的 C_m-V_G 和 G_m-V_G 曲线(图 1). 由前者计算出氧化物电容 ($C_{ox} = 2.24 \times 10^{-8}$ 法·厘米 $^{-2}$) 和杂质浓度 ($N_D = 1.0 \times 10^{15}$ 厘米 $^{-3}$). 由后者 G_m 峰值大致决定测量电导-频率关系时选用的直流偏压范围. (2) 在不同直流偏压下测量 G_m 和 C_m 的频率特性, 然后由式 (5) 计算得到对应的 $G_p/\omega-\omega$ 关系. (3) 将各条 $G_p/\omega-\omega$ 实验曲线归一化后与理论曲线比较得到方差 σ 值. (4) 由 σ 求出 I_m 和 f_r . (5) 由式 (3) 和 (4) 可以得到 N_{ss} 和 τ_n 与 V_G 的关系. (6) 由准静态 C-V 曲线的伯格兰德积分并与理论曲线比较, 得到直流偏压与表面势的关系. (6) 最后把 V_G 转换为表面

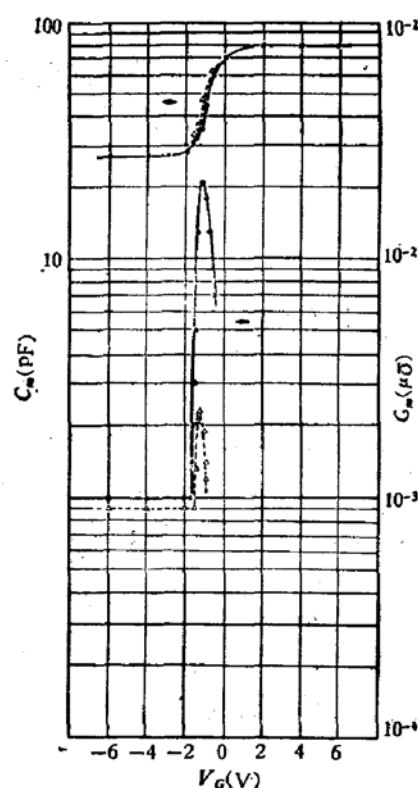


图 1 1^{kc} (虚线) 和 10^{kc} (实线) 下的 C_m-V_G , G_m-V_G 测量结果

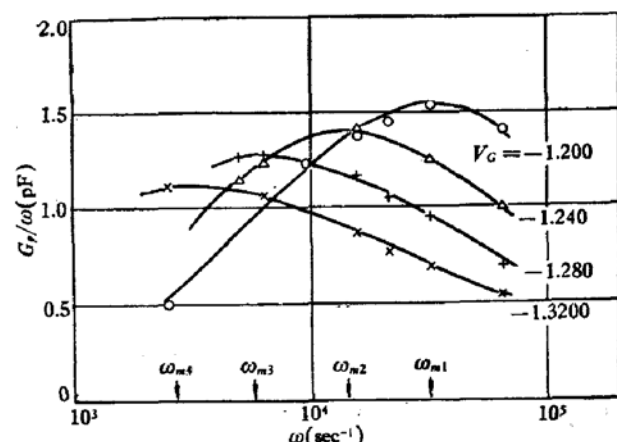


图 2 不同直流偏压下的 $\frac{G_p}{\omega}-\omega$ 测量结果

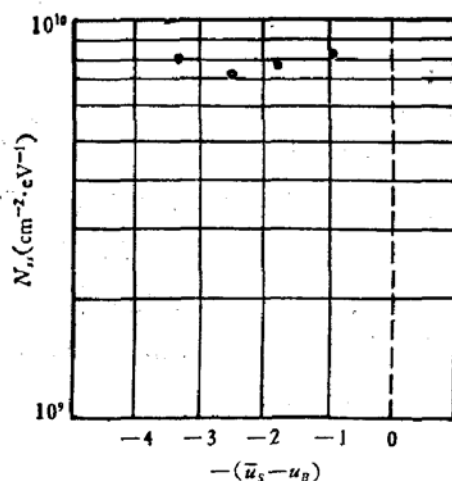


图 3 N_{ss} 在禁带中的分布

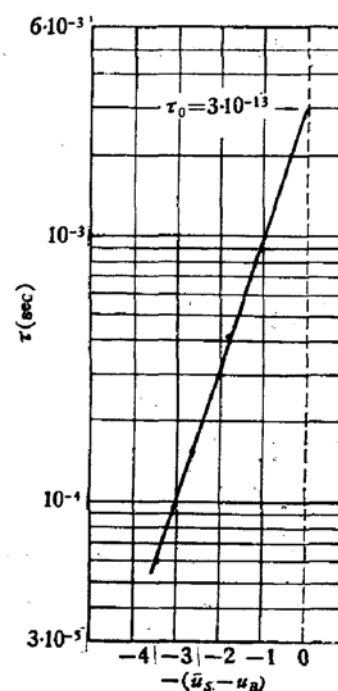


图 4 τ_n 与表面势的关系

势就得到 N_{ss} , τ_n 和表面势的关系(图3和4). 因为禁带中心处的 $\tau_0 = (\sigma_n \cdot \bar{v} \cdot n_i)^{-1}$, 故可以得到俘获截面 σ_n . (取 $\bar{v} = 10^7 \text{ cm} \cdot \text{sec}^{-1}$)

结果. 对严格清洁氧化的N型(100)晶面硅MOS电容进行了测量. 图1中 G_m 在-1.1伏和-1.3伏附近出现尖锐峰值, 平坦部分表示反型区. 表1给出测量数据. 图2中各条曲线是用表1中数据由式(1)计算而得, 可见与实验符合较好. 由 $\tau_0 = 3 \times 10^{-15}$ 秒计算而得的俘获截面为 $\sigma_n = 2.4 \times 10^{-15} \text{ 厘米}^2$.

表 1

V_G (V)	-1.200	-1.240	-1.280	-1.320
$(G_p/\omega)_m$ (pF)	1.53	1.40	1.28	1.13
ω_m (sec^{-1})	3.14×10^4	1.40×10^4	5.70×10^3	2.70×10^3
σ ($\frac{kT}{q}$)	0.5	1.0	1.0	1.5
N_{ss} ($\text{cm}^{-2} \cdot \text{eV}^{-1}$)	8.05×10^9	9.37×10^9	7.85×10^9	8.22×10^9
τ_n (sec)	7.02×10^{-5}	1.58×10^{-4}	4.12×10^{-4}	9.04×10^{-4}

参 考 文 献

- [1] E. H. Nicollian, and A. Goetzberger, *B. S. T. J.*, **46**, 1055 (1967).
- [2] A. Goetzberger, E. Klausmann and M. J. Schulz, *CRC Critical Reviews in Solid State Sciences*, January, (1976).

Measurements of Low Densities and Capture Cross Section of the Surface States at the Si-SiO₂ Interface by the Conductance Technique

Shi Changxin, Lu Deren and Gu Weifang
(Shanghai Institute of Metallurgy, Chinese Academy of Sciences)